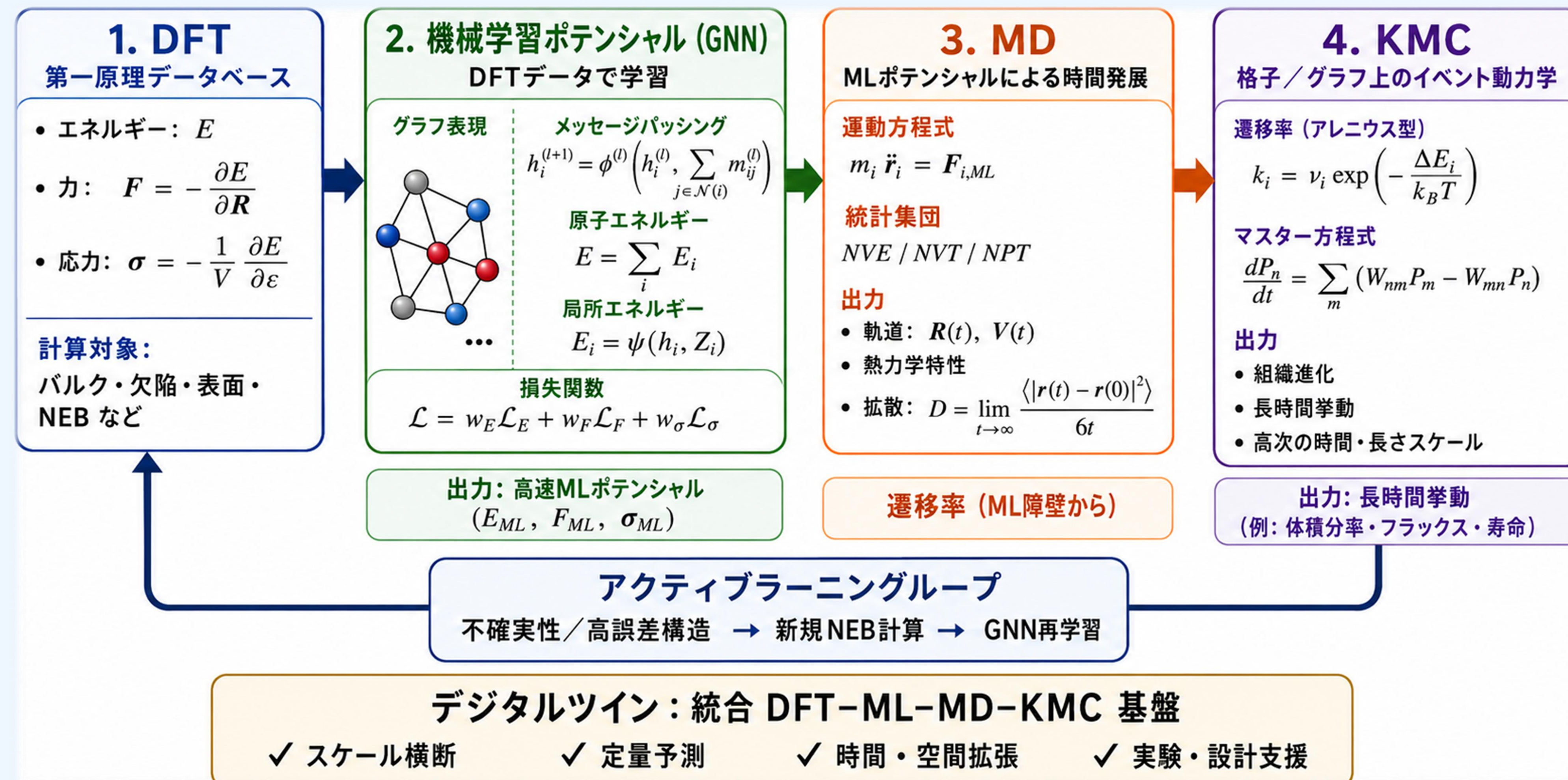


CUI Yi (崔羿) 名古屋大学 大学院工学研究科 機械・航空宇宙工学専攻

電子風力駆動せん断帯形成と応力場誘起ナノ介在物界面剥離パターンの統合数値解析

1. 理論 : DFT-ML-MD-KMC / PINN 数値解析基盤の構築

外場駆動ナノ構造形成を、第一原理・機械学習potential・MD・KMC・PINNで接続する解析基盤



概要

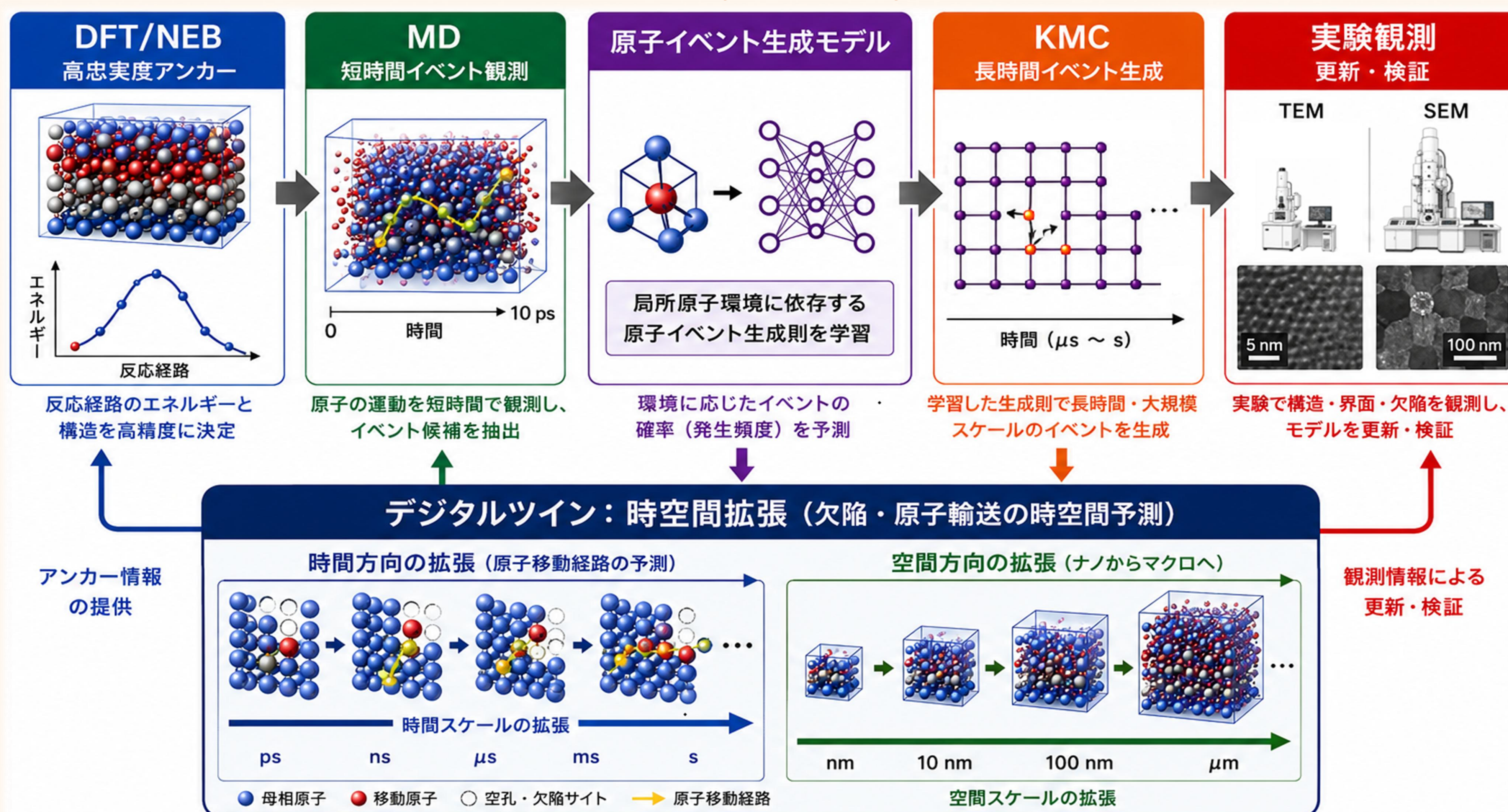
外場で駆動される原子移動, 欠陥輸送, 界面応力応答を同一の計算フローで扱うための全体構成。

理論

外場駆動ナノ構造形成を解析するための統合計算基盤を示す。DFT/NEBで反応経路とエネルギーを高精度に決定し、GNNポテンシャルで原子間相互作用を学習する。さらにMDにより短時間の原子運動を追跡し、KMCにより長時間・大規模スケールの組織発展を予測する。得られた情報をPINN解析と接続することで、原子輸送・欠陥形成・応力場応答を統一的に評価する。

2. 電子風力場の結果図 : electric current-driven shear bands 形成

電流印加で生じる電子風力を駆動力として, dual-phase Ti alloy の不均一組織発達と shear bands を解析



結果

電流印加により生じる電子風力が原子輸送を促進し、dual-phase Ti alloy 内に不均一な組織発達と shear bands を形成する。MD-KMC解析により実験で観察されたナノ双晶状構造を再現し、提案モデルの妥当性を確認した。

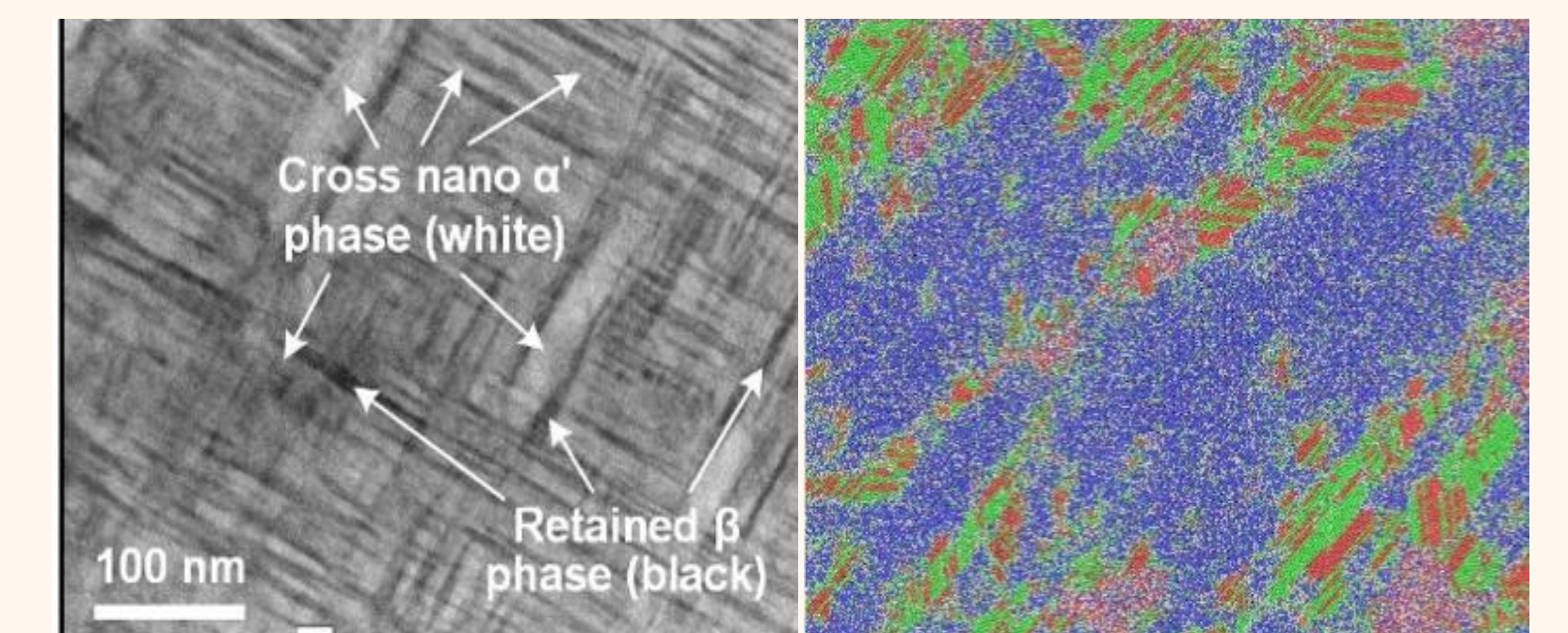


図 電子風力実験[1](左)とMD-KMC予備解析(右): Shear bandsの再現により、妥当性を示す

[1] Shaojie Gu, Yasuhiro Kimura, Yi Cui, Yasuyuki Morita, et al., "Electric current-driven heterogeneous microstructures in dual-phase titanium alloys," Nature Communications, 2026

3. 外部応力場の結果図 : nano inclusion の debonding pattern

原子シミュレーションから得られた変位場に対して、PINNを用いて応力場を復元し、ナノ介在物の配置に依存する界面剥離パターンを評価する

PINN アプローチと損失項

■ 総損失関数 (Total Loss)

$$\mathcal{L} = w_{\text{data}} \mathcal{L}_{\text{data}} + w_{\text{phys}} \mathcal{L}_{\text{eq}} + w_{\sigma} \mathcal{L}_{(\sigma_{xx})} + w_{\text{per}}(t) \mathcal{L}_{\text{per}}$$

● データ損失 (Data loss)

原子の正規化残差に対する教師あり MSE (平均二乗誤差):

$$\mathcal{L}_{\text{data}} = \frac{1}{N} \sum_{n=1}^N \|\mathbf{r}_N(\mathbf{x}_n) - \mathbf{r}_{N,\text{gt}}(\mathbf{x}_n)\|_2^2$$

N : データ点 (原子) の総数
 $\mathbf{r}_N(\mathbf{x}_n)$: PINN が予測した原子位置
 $\mathbf{r}_{N,\text{gt}}(\mathbf{x}_n)$: 真の原子位置 (参照データ)
 $\|\cdot\|_2$: L2 ノルム

● 物理損失 (平衡方程式)

応力の発散がゼロであることを課す (力の釣り合いの満足):

$$\mathcal{L}_{\text{eq}} = \mathbb{E}_x \left[\frac{\|\nabla \cdot \sigma(\mathbf{x})\|_2^2}{\sigma_{\text{ref}}^2} \right], \quad \sigma_{\text{ref}} = \text{SXX_TARGET}$$

$\nabla \cdot \sigma(\mathbf{x})$: 応力の発散
 σ_{ref} : 正規化用の基準応力 (SXX_TARGET)
 \mathbb{E}_x : 空間領域における平均

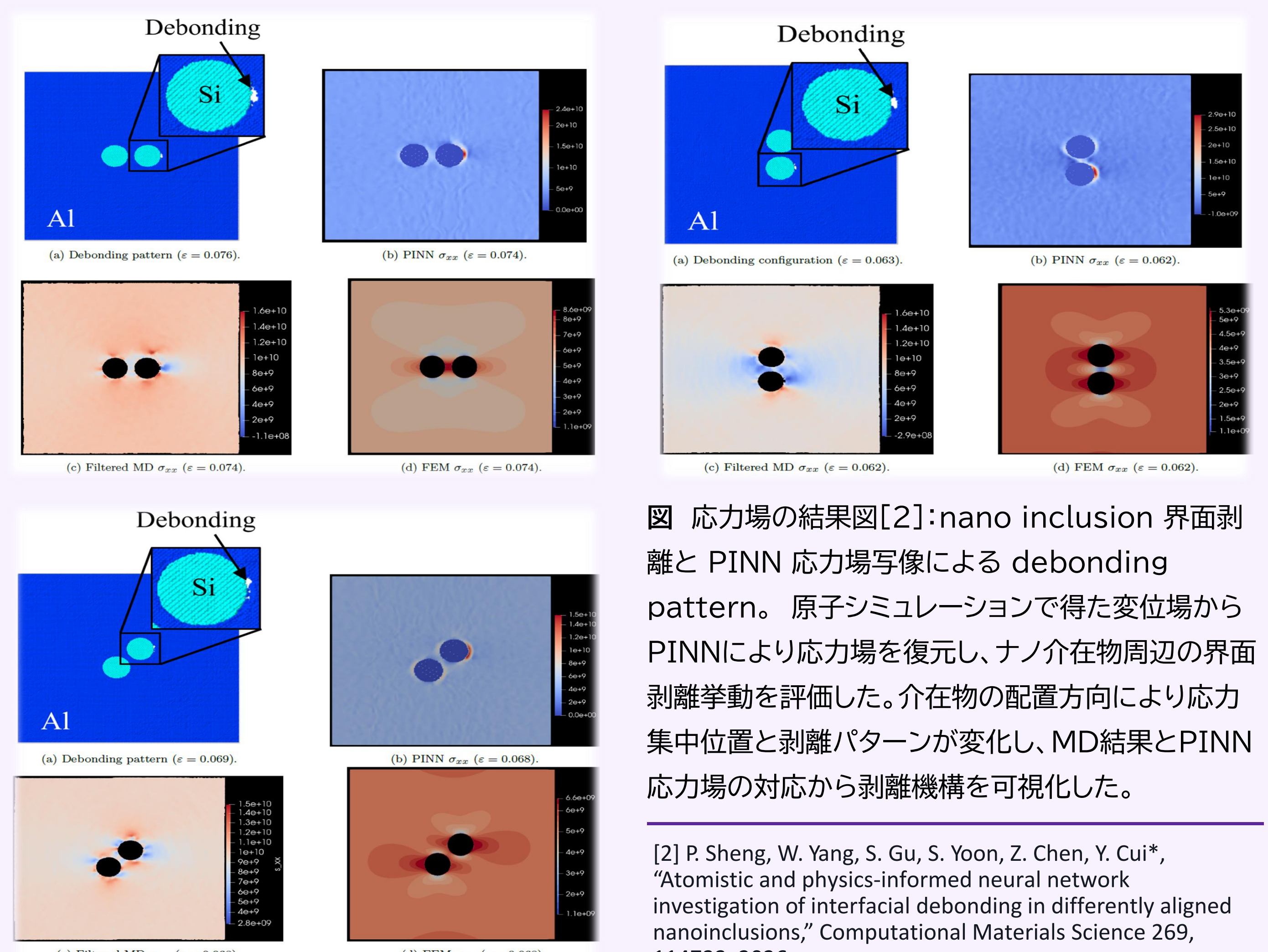
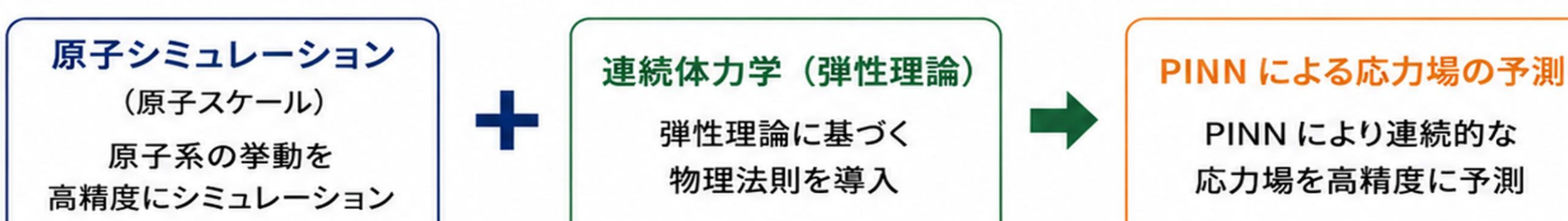


図 応力場の結果図[2]: nano inclusion 界面剥離と PINN 応力場画像による debonding pattern. 原子シミュレーションで得た変位場から PINNにより応力場を復元し、ナノ介在物周辺の界面剥離挙動を評価した。介在物の配置方向により応力集中位置と剥離パターンが変化し、MD結果とPINN 応力場の対応から剥離機構を可視化した。

[2] P. Sheng, W. Yang, S. Gu, S. Yoon, Z. Chen, Y. Cui*, "Atomistic and physics-informed neural network investigation of interfacial debonding in differently aligned nano-inclusions," Computational Materials Science 269, 114733, 2026.